

# Efekt Comptona

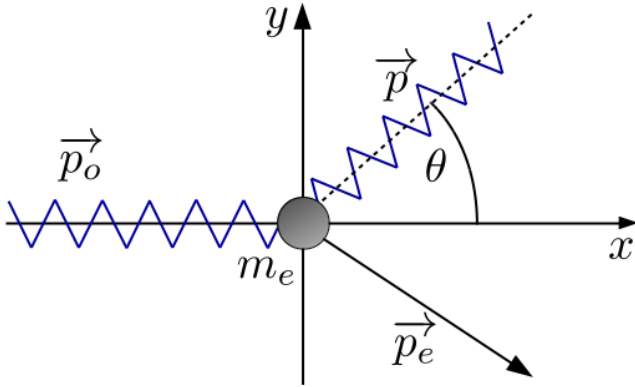
Monika Kubek

Numer indeksu: 270018

Pomiary przeprowadzono dnia 18 X 2016 roku w II Pracowni Fizycznej Wydziału Fizyki, Astronomii i Informatyki Stosowanej Uniwersytetu Mikołaja Kopernika. Celem doświadczenia było zbadanie zależności między energią padającego na daną próbkę kwantu promieniowania, a kątem pod jakim się on rozprasza. Pomiary zostały dokonane dla próbek: węgla (grafit), miedzi i glinu.

## I. WSTĘP

Zjawisko Comptona zachodzi, gdy na swobodne lub słabo związane elektrony pada foton o wysokiej energii (promieniowanie rentgenowskie i gamma). Widzimy wtedy przejaw korpuskularnej natury światła, kiedy między elektronem i fotonem dochodzi do zderzenia. Przeanalizujemy dokładnie całą sytuację.



Rysunek 1: Rozpraszanie fotonu na swobodnym elektronie.

Na rysunku 1. widzimy schemat zachodzącego zjawiska. Poruszający się wzdłuż osi  $X$  foton o pędzie  $\vec{p}_0$  zderza się z umieszczonym w środku układu współrzędnych fotonem o masie spoczynkowej  $m_e$ . Następuje rozproszenie fotonu, którego tor ruchu ulega odchyleniu od osi  $X$  o kąt  $\theta$ , a pęd zmienia się na  $\vec{p}$ . Elektron zostaje wprowadzony w ruch i ma teraz pęd  $\vec{p}_e$ . Zakładamy, że mamy tutaj do czynienia ze zderzeniem sprężystym. Spełnione wtedy są zasady zachowania energii oraz pędu. Ponieważ zajmujemy się fotonami i dużymi prędkościami to musimy pamiętać o efektach relatywistycznych.

Początkowa energia fotonu wynosi

$$E_0 = h\nu_0 = \frac{hc}{\lambda_0}, \quad (1)$$

gdzie  $h$  to stała Plancka,  $\nu_0$  to początkowa częstotliwość,  $c$  to prędkość światła, a  $\lambda_0$  to początkowa długość fali. Po zderzeniu foton traci część swojej energii i ma ona wtedy wartość

$$E = h\nu = \frac{hc}{\lambda}, \quad (2)$$

zmienia się zatem długość fali. Wiemy, że  $p = E/c$ . Pęd

kolejnego padającego i rozproszonego fotonu wynosi

$$p_0 = \frac{h}{\lambda_0}, \quad (3)$$

$$p = \frac{h}{\lambda}. \quad (4)$$

Elektron na początku miał tylko energię spoczynkową

$$E_s = m_e c^2, \quad (5)$$

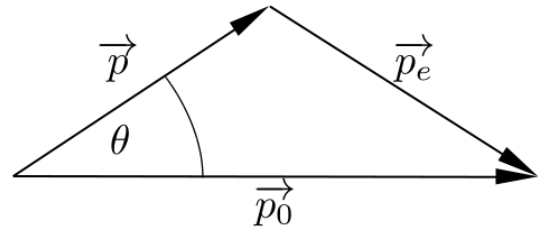
a jego pęd wynosił zero. Po zderzeniu jego energia kinetyczna i pęd zmieniły się

$$E_{kin} = p_e c. \quad (6)$$

Skorzystamy teraz z zasad zachowania. Otrzymamy układ dwóch równań

$$\vec{p}_0 = \vec{p} + \vec{p}_e, \quad (7)$$

$$E_0 + E_s = E + E_e. \quad (8)$$



Rysunek 2: Zasada zachowania pędu.

Na rysunku 2. przedstawiony jest trójkąt, który wyraża zasadę zachowania pędu. Z twierdzenia cosinusów otrzymujemy

$$p_e^2 = p^2 + p_0^2 - 2pp_0 \cos \theta. \quad (9)$$

Potrzebny nam także będzie niezmiennik transformacji Lorentza dla elektronu

$$E_e^2 = p_e^2 c^2 + m_e^2 c^4. \quad (10)$$

Do zasady zachowania energii (8) podstawiamy (5),  $E = pc$ ,  $E_0 = p_0 c$  i obliczamy

$$E_e^2 = (m_e c^2 + p_0 c - pc)^2. \quad (11)$$

Otrzymany wynik przyrównujemy z niezmiennikiem (10) i wstawiamy (9)

$$(p^2 + p_e^2 - 2pp_e \cos \theta) c^2 + m_e^2 c^4 = (m_e c^2 + p_0 c - pc)^2. \quad (12)$$

Równanie to rozpisujemy, dzielimy przez  $c^2$  i przekształcamy do postaci

$$m_e p_0 c = p_0 p - p_0 p \cos \theta + m_e p c, \quad (13)$$

którą następnie dzielimy przez  $m_0 c p_0 p$  dochodząc w końcu do

$$\frac{1}{p} - \frac{1}{p_0} = \frac{1 - \cos \theta}{m_e c}. \quad (14)$$

Teraz podstawiamy za pęd wartości (3) i (4) oraz przyjmujemy  $\Delta\lambda = \lambda - \lambda_0$

$$\Delta\lambda = \lambda_C (1 - \cos \theta), \quad (15)$$

gdzie  $\lambda_C = h/m_e c$  to tzw. komptonowska długość fali.

Przeanalizujemy krótko otrzymany wzór. Widzimy, że przesunięcie komptonowskie zależy tylko od kąta pod jakim foton został rozproszony. Kąt  $\theta = 0$  odpowiada sytuacji, kiedy żadne zderzenie nie zachodzi, nie ma żadnej zmiany w długości fali. Kiedy kąt rośnie, to rośnie także  $\Delta\lambda$ , aż do maksymalnej wartości  $2\lambda_C$  dla zderzenia centralnego, gdzie zmiana kierunku ruchu wynosi  $\theta = 180^\circ$ .

## II. APARATURA

Źródłem promieniowania w naszym układzie doświadczalnym jest izotop cezu  $Cs^{137}$  umieszczony w grubej osłonie. Na ruchomym ramieniu znajduje się scyntylator z fotopowielaczem. Umożliwia to dokonywanie pomiarów pod kątami  $\theta$  równymi kolejno:  $0^\circ$ ,  $15^\circ$ ,  $30^\circ$ ,  $45^\circ$ ,  $60^\circ$ ,  $75^\circ$ ,  $90^\circ$  i  $120^\circ$ . Sygnał trafia do analizatora wielokanałowego, a pomiar wykonywany jest przy pomocy komputera i odpowiedniego oprogramowania.

Na środku stołu umieszczane były kolejno badane próbki grafitu, miedzi i glinu w kształcie walca. Dla każdej z nich wykonano 8 pomiarów, po jednym dla każdego kąta, trwających 300 sekund każdy. Analizator zbierał dane z 1024 kanałów odpowiadających energii zmierzonych kwantów.

## III. WYNIKI

W wyniku pomiarów otrzymaliśmy widma energii dla rozproszonego promieniowania. Przedstawione są one kolejno na wykresach (1-3), znajdujących się na końcu tej pracy. Patrząc od prawej strony widzimy najpierw pik o największej energii, który jest dla nas najbardziej interesujący. Z niego bowiem wyliczymy energię fotonu rozproszonego. Dalej pojawia się szerokie widmo za które odpowiedzialne są inne zjawiska zachodzące w układzie pomiarowym. Jest to nieinteresujący nas szum.

## IV. ANALIZA WYNIKÓW

### A. Dopasowanie liniowe

Wiemy, że  $E = hc/\lambda$ , możemy zatem wzór (15) zapisać jako

$$\frac{hc}{E} - \frac{hc}{E_0} = \frac{h}{m_e c} (1 - \cos \theta). \quad (16)$$

Skracając stałą  $h$ , dzieląc przez  $c$  i przenosząc odpowiednio wyrazy otrzymujemy

$$\frac{1}{E} = \frac{1}{m_e c^2} (1 - \cos \theta) + \frac{1}{E_0}. \quad (17)$$

W naszych pomiarach nie mierzyliśmy energii, ale możemy utożsamić ją z numerem kanału dla którego występuje maksimum fotopiku  $E \sim N$ . Otrzymaliśmy liniowe wyrażenie w postaci  $y = ax + b$ , gdzie

$$x = 1 - \cos \theta, \quad (18)$$

$$y = \frac{1}{N}, \quad (19)$$

$$a = \frac{1}{m_e c^2}, \quad (20)$$

$$b = \frac{1}{E_0}. \quad (21)$$

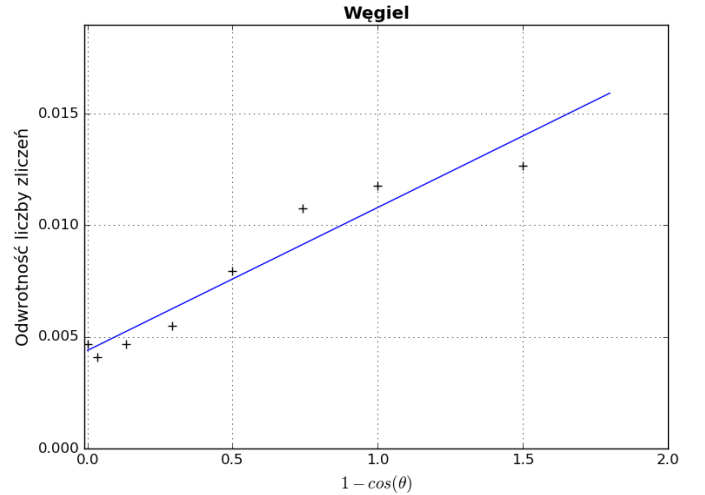
Na wykresach (4-6) krzyżykami zaznaczone są punkty  $(x, y)$ , przedstawione jest także dopasowanie linii trendu wykonane za pomocą regresji liniowej dla każdego z trzech materiałów wraz z współczynnikiem korelacji liniowej  $R$ .

#### • Węgiel

$$a = (6,4 \pm 0,8) \cdot 10^{-3}$$

$$b = (4,4 \pm 0,6) \cdot 10^{-3}$$

$$R = 0,960$$



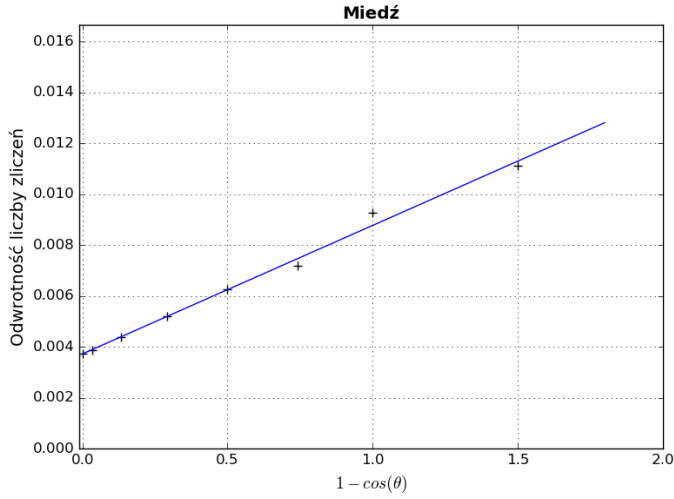
Wykres 4: Dopasowanie linii trendu dla grafitu.

#### • Miedź

$$a = (5,05 \pm 0,18) \cdot 10^{-3}$$

$$b = (3,72 \pm 0,13) \cdot 10^{-3}$$

$$R = 0,997$$



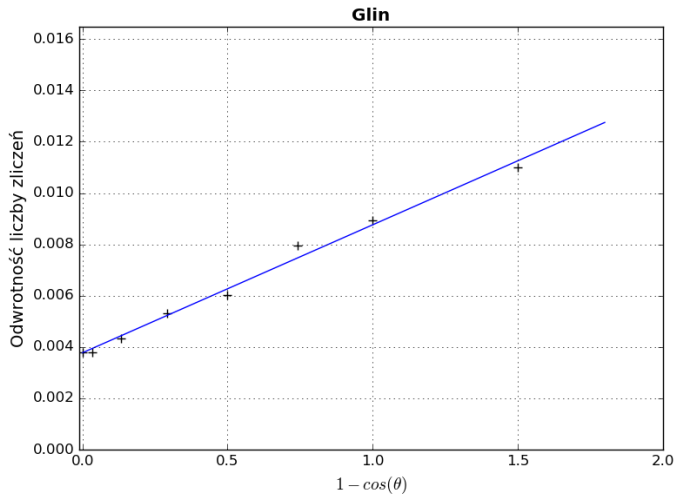
Wykres 5: Dopasowanie linii trendu dla miedzi.

#### • Glin

$$a = (5,0 \pm 0,2) \cdot 10^{-3}$$

$$b = (3,77 \pm 0,14) \cdot 10^{-3}$$

$$R = 0,996$$



Wykres 6: Dopasowanie linii trendu dla glinu.

## B. Energia kwantu padającego

Znając współczynniki  $a$  i  $b$  możemy obliczyć energię kwantu padającego

$$\frac{a}{b} = \frac{E_0}{m_e c^2}, \quad (22)$$

więc

$$E_0 = \frac{a}{b} m_e c^2. \quad (23)$$

W tabeli poniżej przedstawiam wyniki.

Wielkość	Grafit	Miedź	Glin
$a/b$	$1.5 \pm 0.4$	$1.4 \pm 0.1$	$1.33 \pm 0.11$
$E(eV)$	$(7 \pm 2) \cdot 10^5$	$(6.9 \pm 0.5) \cdot 10^5$	$(6.78 \pm 0.53) \cdot 10^5$

Tabela I: Stosunek współczynników i energia fotonu padającego.

## C. Narzędzia

Cała analiza została wykonana przy użyciu języka Python [2], biblioteki SciPy [3]. Wykresy stworzone zostały w oparciu o moduł Matplotlib. Obliczenia wykonane za pomocą biblioteki SciPy i modułu NumPy.

## V. PODSUMOWANIE

Wartość energii kwantu  $Cs^{137}$  podawana w literaturze to  $6.62 \cdot 10^5 eV$  [4]. Najbliższa tej wartości jest energia uzyskana dla glinu. Nasz pomiar dla grafitu okazał się być bardzo niedokładny, gdyż jego błąd to aż 29% całej wartości.

Z trzech uzyskanych energii fotonu obliczamy średnią wartość

$$energia\ fotonu\ (7.0 \pm 0.7) \cdot 10^5. \quad (24)$$

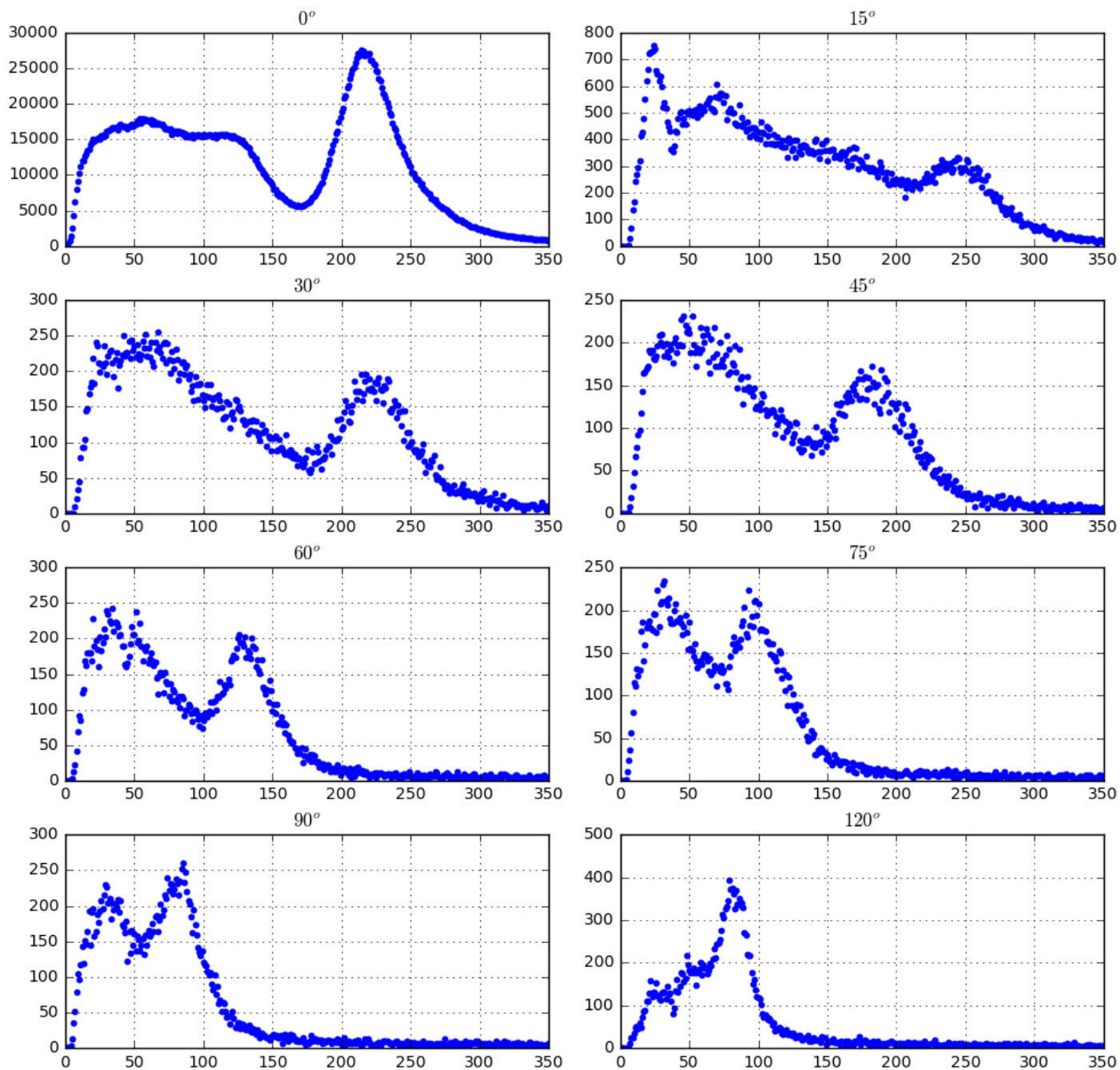
Błąd względny wynosi 9.8%, jest to duża liczba, więc nasz pomiar okazuje się być dosyć niedokładny. Wartość literaturowa znajduje się w granicach błędu.

- 
- [1] H.A. Enge, M.R. Wehr, J.A. Richards, „Wstęp do fizyki atomowej“, rozdział 5.1, PWN 1983.  
[2] Python Software Foundation. Python Language Reference, version 3.4.3. Available at <http://www.python.org> [Online; accessed 2016-11-06].  
[3] Jones E, Oliphant E, Peterson P, et al. SciPy: Open Source Scientific Tools for Python, 2001-, <http://www.scipy.org/> [On-

line; accessed 2016-11-06].

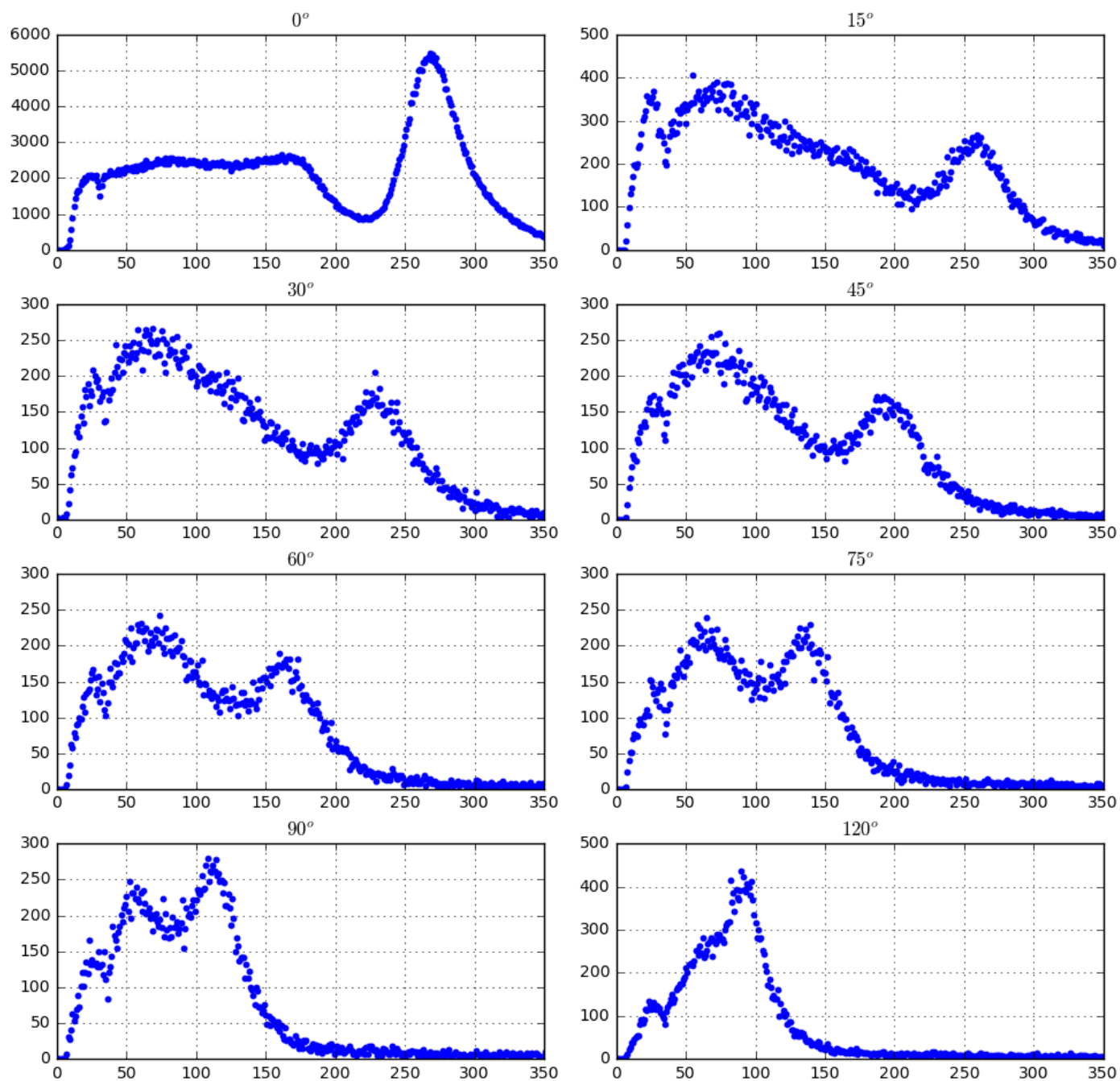
- [4] <http://researchcompliance.uc.edu/RadSafety/Isotope/CESIUM-137.aspx> [Online; accessed 2016-11-06].  
[5] S. Szczeniowski, „Fizyka doświadczalna“, tom V.2. Fizyka jądrowa, Warszawa 1960.

# Węgiel



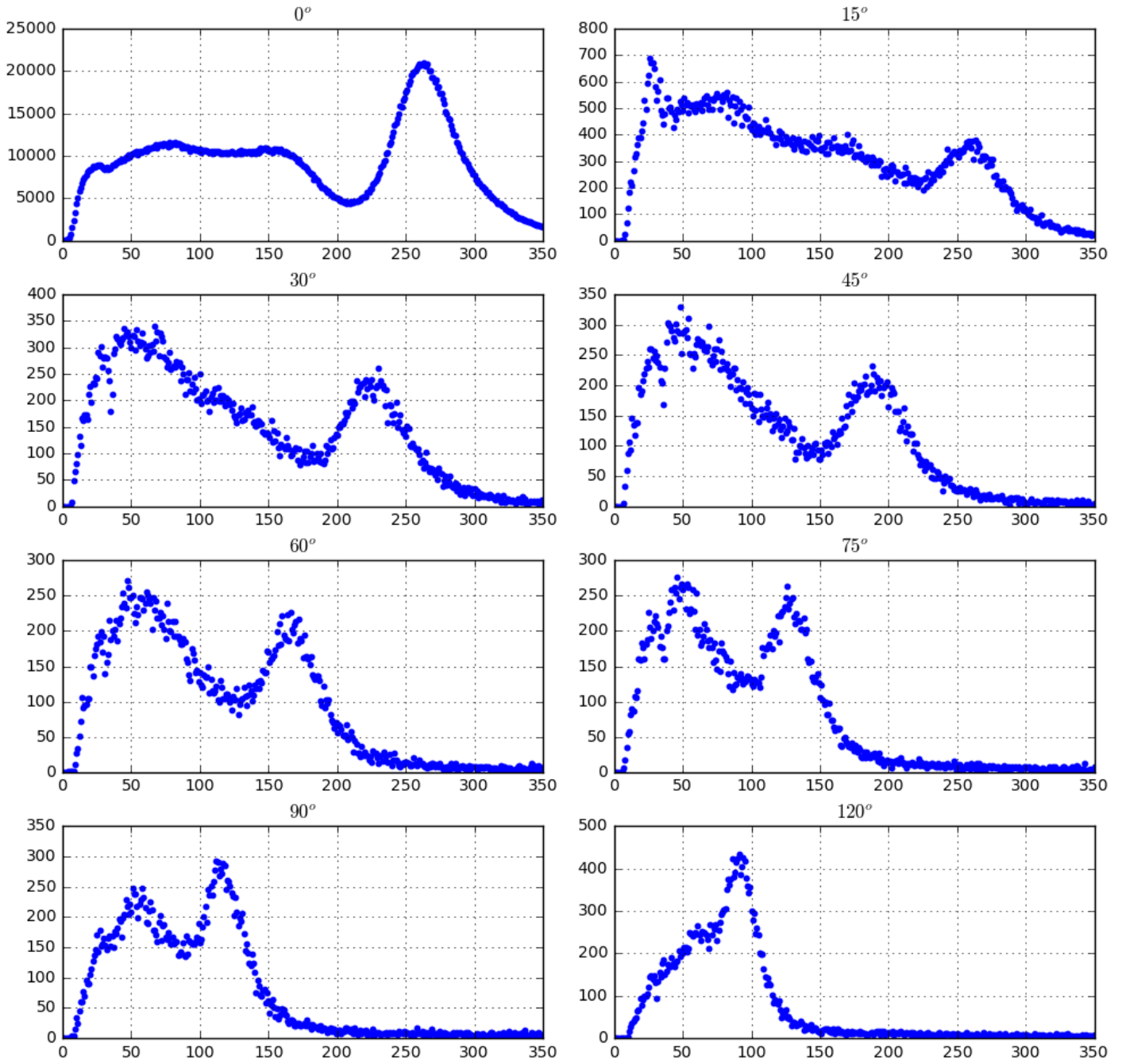
Wykres 1: Widmo dla grafitu kolejno dla poszczególnych kątów. Oś pozioma przedstawia numer kanału, a pionowa ilość zliczeń.

# Miedź



Wykres 2: Widmo dla miedzi kolejno dla poszczególnych kątów. Oś pozioma przedstawia numer kanału, a pionowa ilość zliczeń.

### Glin



Wykres 3: Widmo dla glinu kolejno dla poszczególnych kątów. Oś pozioma przedstawia numer kanału, a pionowa ilość zliczeń.